

Санкт–Петербургский государственный университет
Кафедра компьютерного моделирования и многопроцессорных систем

Мирошниченко Александр Сергеевич

Выпускная квалификационная работа бакалавра

**Разработка системы распознавания речевых команд при
помощи методов машинного обучения**

Направление 01.03.02

«Прикладная математика и информатика»

Научный руководитель,
кандидат физ.-мат. наук,
доцент
Козынченко В. А.

Санкт-Петербург

2021 г.

Содержание

| | |
|--|----|
| Введение | 4 |
| Постановка задачи | 6 |
| Обзор литературы | 7 |
| Глава 1. Теоретические сведения | 8 |
| 1.1. Речь как объект распознавания | 8 |
| 1.2. Речь в компьютерном представлении | 9 |
| 1.3. Общая схема алгоритма распознавания | 9 |
| Глава 2. Описание решения | 11 |
| 2.1. Предобработка | 11 |
| 2.1.1 Нормализация сигнала | 11 |
| 2.1.2 Удаление постоянной составляющей | 11 |
| 2.1.3 Выделение начальной и конечной точек слова | 12 |
| 2.2. Выделение речевых признаков | 15 |
| 2.2.1 Получение спектра сигнала | 16 |
| 2.2.2 Мел-шкала и расчёт мел-фильтров | 16 |
| 2.2.3 Получение кепстра сигнала | 18 |
| 2.2.4 Приведение матриц к одной размерности | 19 |
| 2.2.5 Сохранение предобработанных данных | 20 |
| 2.3. Распознавание речевых команд | 20 |
| 2.3.1 Многослойный персептрон | 20 |
| 2.3.2 Свёрточная нейронная сеть | 21 |
| 2.3.3 Входные и выходные данные модели | 21 |
| 2.3.4 Архитектура нейронной сети | 22 |
| 2.4. Программная реализация | 24 |
| 2.5. Описание датасета | 26 |
| Глава 3. Результаты вычислений | 27 |

| | |
|---------------------------------------|-----------|
| 3.1. Описание экспериментов | 27 |
| Выводы | 31 |
| Заключение | 32 |
| Приложение | 35 |

Введение

В современном компьютеризированном мире огромное значение имеет взаимодействие человека с компьютером - ввод и вывод информации с устройства в понятной для человека форме. Один из способов внести информацию в компьютер - записать речь через микрофон, после чего можно обрабатывать данные в памяти, которые ее представляют. Обработка может быть совершенно разной, но особенно важно распознавать слова, которые произнёс человек и давать им представление в виде текста. То есть, давать такое представление речи, как если бы она была не произнесена голосом, а напечатана при помощи клавиатуры.

Решение такой задачи может быть использовано для различных целей. К примеру, можно переписываться с другим человеком по интернету текстовыми сообщениями, при этом вообще не прикасаясь к клавиатуре, управлять различными компьютерными интерфейсами при помощи голосовых команд и т.д.

Данная проблема была актуальна со времён появления компьютеров и остаётся таковой по сей день. Особенно актуальна она стала в последнее время, когда появились качественные микрофоны, возросла мощность вычислительных устройств, увеличилось количество информации, которой обмениваются люди через интернет.

Изначально, для решения данной задачи применялись такие алгоритмы, как скрытые Марковские модели, методы динамического программирования, методы дискриминантного анализа, основанные на Байесовской дискриминации и другие. Но с появлением нейронных сетей и многочисленных экспериментов с их использованием выяснилось, что задачу распознавания речи можно решать и при помощи нейросетевого подхода. И хоть сами нейронные сети появились ещё в прошлом веке, их популярность возросла только в последнее время, в связи с ростом мощности компьютеров.

В данной работе предлагается рассмотреть решение задачи распознавания речи при помощи сверточной нейронной сети. В качестве решения подзадачи выделения характеристик речи предлагается алгоритм мел-частотных кепстральных коэффициентов, разработанный в 70-х годах прошлого века, учитывающий особенности слухового восприятия человеком.

Краткое содержание глав:

В главе 1 рассмотрены теоретические сведения о звуке, речевых признаках и общая схема алгоритма распознавания звука.

В главе 2 рассмотрен алгоритм распознавания речи. Подробно описаны подзадачи предобработки звукового сигнала, выделения речевых признаков и самого блока распознавания алгоритма.

В главе 3 приведены результаты вычислений: результаты обучения и тестирования нейронной сети, а также инструменты, которые были использованы для реализации алгоритма.

Постановка задачи

Пусть $X = \{x_0, \dots, x_{p-1}, \dots\}$ - множество объектов речи. Оно состоит из векторов амплитуд $x_i = \{x_i^0, \dots, x_i^{k_i}\}$, $i = \overline{0, \inf}$. Здесь k_i - количество записанных амплитуд в i -м объекте. У каждого объекта речи есть своя частота дискретизации w_i . Само по себе множество объектов бесконечно, однако известны значения первых p элементов. Обозначим их через $\hat{X} = \{x_0, \dots, x_{p-1}\}$.

Пусть $Y = \{y_0, \dots, y_{p-1}, \dots\}$ - множество скалярных меток, а $\hat{Y} = \{y_0, \dots, y_{p-1}\}$ - множество известных скалярных меток для первых p объектов речи. Таким образом известно отображение $\hat{Z} = \hat{X} \rightarrow \hat{Y}$, описываемое парами значений $\hat{Z} = \{(x_0, y_0), \dots, (x_{p-1}, y_{p-1})\}$.

Необходимо разработать алгоритм, который бы строил отображение $Z = X \rightarrow Y$.

Для того, чтобы решить поставленную задачу, необходимо разбить ее на следующие подзадачи и последовательно решить их:

- Провести предобработку первоначальных данных, содержащих звуковой сигнал в виде наборов амплитуд
- Разработать алгоритм распознавания объектов речи
- Реализовать алгоритм распознавания объектов речи
- Провести вычислительные эксперименты и выяснить, какой метод решения задачи является наиболее эффективным

В дальнейшем под объектом речи понимается отдельно взятое слово. В контексте этой работы словом является команда, которая произносится на английском языке в микрофон. Базовый набор команд составляет необходимый минимум для управления программным интерфейсом медиаплеера. В рамках данной работы сам интерфейс не рассматривается.

Обзор литературы

Первые шаги в распознавании речи были сделаны в 1952 году. Тогда трое исследователей Bell Labs - Стивен Балашек, Рулон Биддалф и Кей Дэвис - представили публике первый в истории аппарат Audrey, способный распознавать человеческую речь [1]. Это была система, позволявшая распознавать только цифры.

Позднее свои результаты в этой сфере представили компании IBM, AT&T.

Примерно в 2000 году развитие индустрии приостановилось. К этому моменту устройства были способны распознавать речь с 80% точностью. Настоящий прорыв произошел, когда компания Google представила свой голосовой поиск. Новшеством было то, что все вычисления были перенесены на мощную серверную часть, а персональные устройства отвечали только за ввод информации. С этого момента все больше компаний стали внедрять распознавание речи в свои продукты.

Среди всех работ в данной задаче стоит отметить:

- 1) Работа

Глава 1. Теоретические сведения

В этой главе рассмотрены теоретические сведения о человеческой речи, речевых признаках и общая схема алгоритма распознавания речи.

1.1 Речь как объект распознавания

Речь представляет собой акустическую волну, которая излучается системой органов: лёгкими, бронхами и трахеей, а затем преобразуется в головном тракте. Если предположить, что источники возбуждения и форма головного тракта относительно независимы, то речевой аппарат человека можно представить в виде совокупности генератора тоновых сигналов и фильтров. На рисунке 1 изображена схема речеобразования.

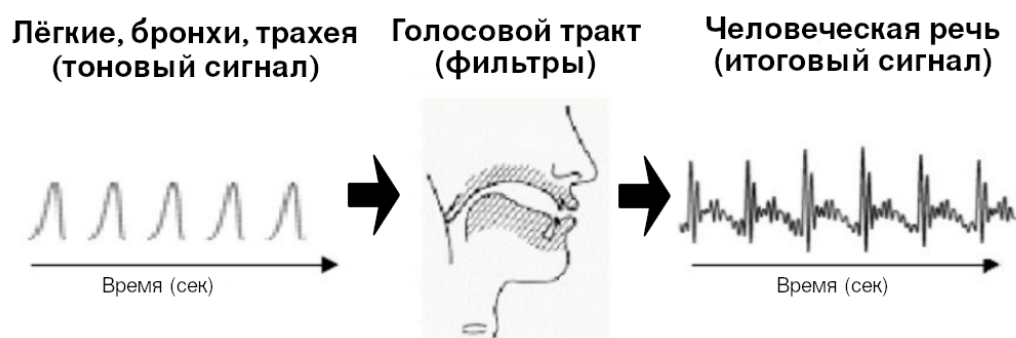


Рис. 1: Речеобразование

Распознавание речи происходит на основе анализа определённых признаков, которые причастны определенным звукам. За создание этих особенностей отвечает голосовой тракт человека. Поэтому одной из подзадач предобработки звука является выделение той части сигнала, которая была сформирована именно голосовым трактом.

Произнесённая речь поступает в приёмники звука. В случае человеческого уха происходит следующее. Звуковые волны проходят через наружное ухо в среднее и вызывают вибрацию барабанной перепонки. Колебания с

барабанной перепонки передаются на маленькие слуховые косточки в среднем ухе. А со слуховых косточек - во внутреннее ухо. Когда эти колебания достигают улитки, они воздействуют на специальные клетки - волосковые. Волосковые клетки преобразуют колебания в электрические нервные импульсы. Слуховой нерв соединяет улитку с центрами слуха в головном мозге. Когда электрические нервные импульсы достигают головного мозга, они воспринимаются как звук и обрабатываются.

В случае с компьютером и подключённым к нему микрофоном - принцип схожий. Звуковые волны колеблют мембрану в микрофоне. Разница в положении мембраны замеряется в виде электрического сигнала при помощи, например, конденсатора. Далее электрический сигнал, поступает по проводу в компьютер, и там проходит обработку.

Речь можно представить в виде последовательности предложений, а их в свою очередь в виде последовательности слов. Слова же состоят из фонем. В общем случае речь непрерывна, т.е. слова не отделяются друг от друга паузами, за исключением того требующих пунктуационных особенностей. В этой работе не рассматривается общий случай. Здесь рассмотрен частный случай, когда речь состоит из отдельных слов, отделяемых друг от друга тишиной в понимании человеческой речи. Этот выбор был обусловлен командным типом системы распознавания, которая работает с отдельными словами.

1.2 Речь в компьютерном представлении

Каждая речевая команда с точки зрения звуковой записи в компьютере - это набор амплитудных значений, полученных с микрофона и записанных в звуковой файл.

1.3 Общая схема алгоритма распознавания

На рисунке 2 представлена общая схема работы алгоритма распознавания речевых команд. Алгоритм разделен на два основных блока, обозначен-

ных на рисунке как Блок 1 и Блок 2. На вход алгоритму поступает наборы амплитудных значений и соответствующие частоты дискретизации в формате wav. На выходе алгоритма - текстовое представление команды.

- Блок 1 - блок, отвечающий за первоначальную обработку данных и приведение их к единому формату.
- Блок 2 - блок, отвечающий за классификацию унифицированных данных. Этот блок может работать в двух режимах: обучения и непосредственной работы. В режиме обучения меняются параметры алгоритма, которые влияют на конечный результат. В режиме непосредственной работы этого не происходит.

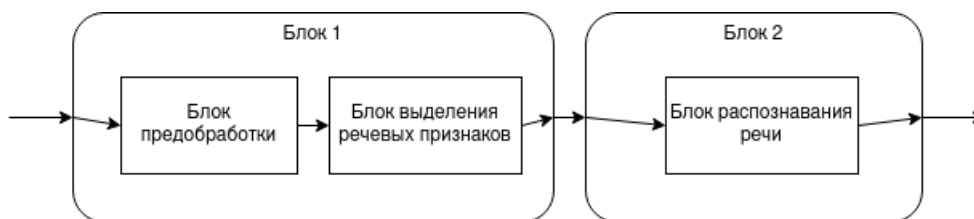


Рис. 2: Общая схема работы алгоритма распознавания речевых команд

Глава 2. Описание решения

В этой главе подробно рассмотрен весь алгоритм распознавания речевых команд. Для удобства понимая названия параграфов расположены в том же порядке, что и этапы в самом алгоритме.

2.1 Предобработка

Каждая команда записана в звуковой wav файл. В каждом файле - набор амплитудных значений, которые были получены в результате записи команд дикторами.

2.1.1 Нормализация сигнала

В начале проводится нормализация амплитуд. Каждое значение амплитуды приводится к такому значению, чтобы минимум среди всех амплитуд звуковой дорожки был в 0, а максимум среди всех - в 1 по формуле:

$$\bar{x}_i = \frac{x_i}{\max_j |x_j|}, \quad i = \overline{0, p-1}, \quad j \in [0, p-1] \quad (1)$$

где x - значение амплитуды, \bar{x} - новое значение амплитуды, p - количество амплитудных значений в звуковой дорожке.

Таким образом все значения амплитуд принимают значения в диапазоне $[0, 1]$.

2.1.2 Удаление постоянной составляющей

Постоянная составляющая (DC-offset) - это смещение амплитуды сигнала на некоторую постоянную величину. Возникает это в аналого-цифровом сигнале из-за разницы напряжения между звуковой картой и устройством ввода. Данный эффект является помехой, от которой нужно избавиться. Для

этого необходимо вычесть из каждого значения амплитуды среднее арифметическое всех значений амплитуд по формуле:

$$\bar{x}_i = x_i - \sum_{j=0}^{p-1} x_j, \quad i = \overline{0, p-1} \quad (2)$$

где x - значение амплитуды полученное на этапе нормализации, \bar{x} - новое значение амплитуды, p - количество амплитудных значений в звуковой дорожке.

2.1.3 Выделение начальной и конечной точек слова

Каждая звуковая дорожка содержит в себе помимо фрагментов звукового сигнала - команды ещё и фрагменты тишины. Очень важно отделить звуковой сигнал от фрагментов тишины, т. к. именно он несёт в себе всю информацию о команде.

Для того, чтобы выделить звуковой сигнал и «обрезать» тишину в начале и в конце записи, используется алгоритм, описанный в статье [6]. Каждая звуковая дорожка разбивается на фреймы - наборы амплитуд, каждый длительностью 20 мс. Начала фреймов расположены с периодичностью 10 мс. Таким образом, фреймы пересекаются между собой. Это обеспечивает целостность обработки звукового сигнала, т.е. позволяет не упустить важные фонемообразующие особенности.

Затем для каждого фрейма вычисляется мгновенная энергия:

$$E_k = \sum_{m=0}^{N-1} x_{k_m}^2, \quad k = \overline{0, z-1} \quad (3)$$

где z - количество фреймов для конкретной звуковой записи, N - длина одного фрейма (количество амплитуд в одном фрейме).

Мгновенная энергия имеет один значительный недостаток. У неё очень большая чувствительность к относительно большим значениям амплитуды из-за возведения во вторую степень. Это ведёт к искажению соотношений от-

счётов звукового сигнала между друг другом. Поэтому функция мгновенной энергии переопределяется как:

$$E_k = \sum_{m=0}^{N-1} |x_{k_m}|, \quad k = \overline{0, z-1} \quad (4)$$

После того, как посчитаны мгновенные энергии для каждого фрейма, вычисляется нижнее и верхнее пороговые значения:

$$\begin{aligned} I_1 &= 0.03 \cdot (MX - MN) + MN \\ I_2 &= 4 \cdot MN \\ ITL &= \min(I_1, I_2) \\ ITU &= 10 \cdot ITL \end{aligned} \quad (5)$$

где MN , MX - минимум и максимум мгновенной энергии среди всех фреймов соответственно, ITL , ITU - нижнее и верхнее пороговое значение.

Происходит поиск фрейма, с которого начинается слово с самого первого фрейма. Фрейм, в котором значение мгновенной энергии превышает ITL , предварительно помечается как начало слова. Затем начиная с этого помеченного фрейма происходит поиск фрейма, в котором значение мгновенной энергии превышает ITU . Если значение мгновенной энергии для какого-то фрейма во время последнего поиска меньше ITL , то этот фрейм становится предварительным началом слова.

Аналогично происходит поиск конца слова в звуковой дорожке. Только поиск по фреймам происходит не с начала сигнала, а с конца.

После этого этапа имеются два предварительно помеченных фрейма m_{begin} , m_{end} - начало и конец слова в звуковом файле.

Функция мгновенной энергии, определённая формулой (4) хорошо справляется с отделением звонких звуков от тишины. Но вот глухие она отделяет плохо. Поэтому используется вторая характеристика для доопределения на-

чала и конца слова - число переходов через ноль. Это количество таких случаев, когда соседние отсчёты (значения амплитуд) имеют противоположные знаки. Определяется формулой:

$$Z_k = \frac{1}{2} \sum_{m=1}^{N-1} |sgn(x_{k_{m-1}}) - sgn(x_{k_m})|, \quad k = \overline{0, z-1} \quad (6)$$

Подразумевается, что первые 100 мс звуковой записи - это тишина, и речь начинается позднее.

Вычисляется среднее значение переходов через ноль в течение первых 100 мс (7), среднее квадратическое отклонение количества переходов через ноль в течение первых 100 мс (8):

$$IZC = \frac{1}{z} \sum_{k=0}^{z-1} Z_k \quad (7)$$

$$\sigma_{IZC} = \sqrt{\frac{1}{z} \sum_{k=0}^{z-1} (Z_k - IZC)^2} \quad (8)$$

а затем пороговую функцию числа переходов через ноль по формуле:

$$IZCT = \min(IF, IZC + 2\sigma_{IZC}), \quad (9)$$

где IF - фиксированное количество переходов через ноль. В данном случае то 25 пересечений за 10 мс, то есть $IF = 2.5$.

Происходит уточнение точек начала и конца слова в звуковой дорожке. Начиная от фрейма m_{begin} влево происходит поиск фреймов, у которых число переходов через ноль выше порогового значения. Поиск происходит всего на расстоянии 25 фреймов, так как производится уточнение границ слова. Если пороговое значение было превышено 3 или более раз, то фрейм r_{begin} , где это произошло впервые, помечается как начало слова. Иначе метка m_{begin} переобозначается как r_{begin} .

Аналогично от фрейма m_{end} происходит поиск вправо для уточнения точки конца слова, которая обозначается за r_{end} .

В результате имеется 2 помеченных фрейма - r_{begin}, r_{end} . Сигнал обрезаётся, и в нём остаётся только речевая команда в виде набора фреймов $[r_{begin}, \dots, r_{end}]$. Обозначим количество получившихся фреймов за u и пронумеруем фреймы следующим образом: $[r_0, \dots, r_{u-1}]$.

2.2 Выделение речевых признаков

Для того, чтобы выделить речевые признаки, используется алгоритм MFCC [5]. Он является одним из стандартных подходов к решению поставленной задачи. Состоит MFCC из нескольких шагов:

1. Для каждого звукового сигнала проделать шаги:
 - 1.1. Разбить сигнал на фреймы.
 - 1.2. Для каждого фрейма проделать шаги:
 - 1.2.1. Получить спектр сигнала.
 - 1.2.2. Составить набор мел-фильтров в соответствии с оконной функцией.
 - 1.2.3. Применить мел-фильтры к спектру сигнала.
 - 1.2.4. Прологарифмировать результат, полученный на предыдущем шаге.
 - 1.2.5. Применить дискретное косинусное преобразование к результату предыдущего шага.
 - 1.3. Объединить MFCC векторы коэффициентов в матрицу.
2. Привести матрицы коэффициентов MFCC каждой звуковой дорожки к одной размерности. Для этого дополнить их нулями слева до необходимой длины. Унифицированная размерность матриц выбирается как максимальная среди всех.

Так как на выходе алгоритма выделения начальной и конечной точек слова получается набор фреймов, то шаг разбиения сигнала на фреймы опускается.

2.2.1 Получение спектра сигнала

Спектр сигнала S_{k_m} в k -ом фрейме - результат дискретного преобразования Фурье:

$$S_{k_m} = \sum_{n=0}^{N-1} x_{k_n} \cdot e^{\frac{-2\pi i}{N} mn}, \quad m = \overline{0, N-1}, \quad k = \overline{0, u-1} \quad (10)$$

2.2.2 Мел-шкала и расчёт мел-фильтров

Мел - психофизическая единица высоты звука. Она описывает значимость конкретной частоты в человеческом восприятии. Популярные формулы для перевода Герц в Мел и обратно описаны в книге [10]:

$$mel(hz) = 1127 \cdot \ln\left(1 + \frac{hz}{700}\right) \quad (11)$$

$$hz(mel) = 700 \cdot \left(e^{\frac{mel}{1127}} - 1\right) \quad (12)$$

На рисунке 3 изображено сравнение шкал Мел и Гц.

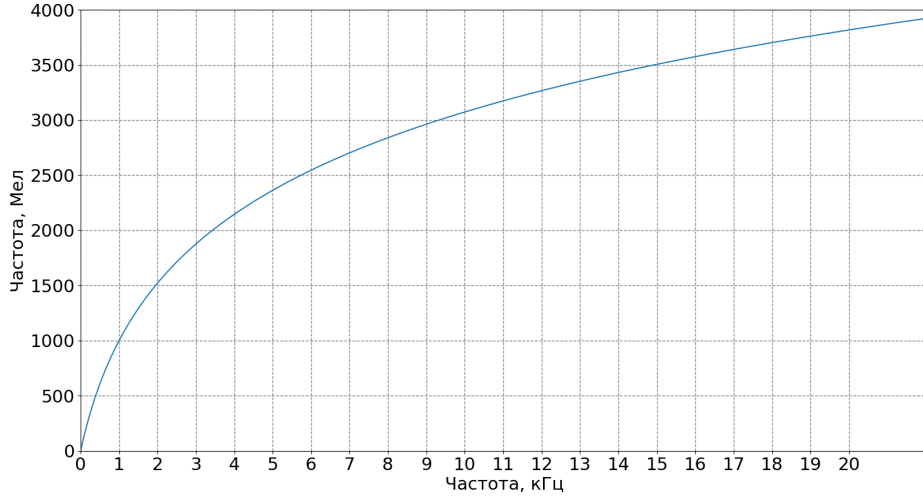


Рис. 3: Сравнение шкал Мел и Гц

Составляются треугольные Мел-фильтры в виде оконной функции:

$$H(v, b) = \begin{cases} 0, & b < f(v) \\ \frac{b - f(v)}{f(v+1) - f(v)}, & f(v) \leq b \leq f(v+1) \\ \frac{f(v+2) - b}{f(v+2) - f(v+1)}, & f(v+1) \leq b \leq f(v+2) \\ 0, & b > f(v+2) \end{cases} \quad (13)$$

для которой f определяется как:

$$f(a) = \frac{N}{w} \text{hz}(\text{mel}(f_{\min}) + a \frac{\text{mel}(f_{\max}) - \text{mel}(f_{\min})}{Q + 1}), \quad (14)$$

где w - частота дискретизации звуковой дорожки, Q - количество треугольных мел-фильтров, f_{\min} , f_{\max} - нижний и верхний пороги частотного диапазона соответственно, $m = \overline{0, N - 1}$. Q обычно выбирается в диапазоне 20-40 (26 является своеобразным стандартом).

На рисунке 4 в качестве примера изображена оконная функция для звуковой дорожки с параметрами $w = 44100$ Гц, $f_{\min} = 0$ Гц, $f_{\max} = 22050$ Гц, $N = 1024$, $Q = 13$.

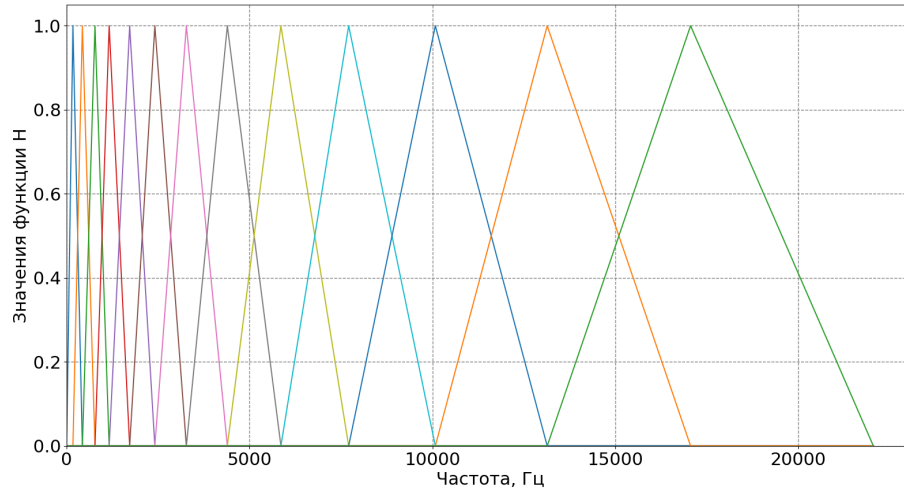


Рис. 4: Оконная функция

2.2.3 Получение кепстра сигнала

Кепстр - определяется в виде обратного преобразования Фурье от логарифма спектра мощности сигнала:

$$C(x(t)) = F^{-1}(\ln[F(x[t])]) \quad (15)$$

где $x(t)$ - входной сигнал, F , F^{-1} - прямое и обратное преобразование Фурье соответственно.

Кепстр совместно с мел-фильтрами используется для выделения речевых признаков. Эта та часть звукового сигнала, которая была образована при помощи голосового тракта человека. В книге [7] можно найти описание того, как это происходит на стр. 367-380.

Выше описан кепстр для непрерывного сигнала. В случае с дискретным набором амплитуд в сигнале и учитывая мел-фильтры, $\ln[F(x[t])]$ записывается как:

$$W_{k_q} = \ln\left(\sum_{m=0}^{N-1} |S_{k_m}|^2 \cdot H(q, m)\right), \quad q = \overline{0, Q-1}, \quad k = \overline{0, u-1} \quad (16)$$

В качестве обратного преобразования Фурье в алгоритме MFCC используется дискретное косинусное преобразование. Получение итоговых коэффициентов MFCC происходит по формуле:

$$c_{k_n} = \ln\left(\sum_{m=0}^{Q-1} W_{k_m} \cos\left(\frac{\pi}{Q}\left(m + \frac{1}{2}\right)n\right)\right), \quad n = \overline{0, d-1}, d \leq Q, \quad k = \overline{0, u-1}, \quad (17)$$

где d - желаемое количество коэффициентов MFCC.

Таким образом получается матрица для каждой звуковой дорожки следующего вида:

$$C_{u \times d} = \begin{pmatrix} c_{00} & c_{01} & \dots & c_{0(d-1)} \\ c_{10} & c_{11} & \dots & c_{1(d-1)} \\ \vdots & \vdots & \ddots & \vdots \\ c_{(u-1)0} & c_{(u-1)1} & \dots & c_{(u-1)(d-1)} \end{pmatrix}$$

где u - количество фреймов, получившееся после выделения начальной и конечной точек слова, d - выбранное количество MFCC коэффициентов.

2.2.4 Приведение матриц к одной размерности

Среди всех значений u существует максимальное u_{max} . Для каждой матрицы, соответствующей определённой звуковой дорожке, сделаем следующее:

- если $u < u_{max}$, то соответствующая матрица C дополняется нулями слева:

$$C_{u_{max} \times d} = \begin{pmatrix} 0 & \dots & 0 & c_{00} & c_{01} & \dots & c_{0(d-1)} \\ 0 & \dots & 0 & c_{10} & c_{11} & \dots & c_{1(d-1)} \\ \vdots & \ddots & \vdots & \vdots & \vdots & \ddots & \vdots \\ 0 & \dots & 0 & c_{(u-1)0} & c_{(u-1)1} & \dots & c_{(u-1)(d-1)} \end{pmatrix}$$

- если $u = u_{max}$, то матрица C остаётся без изменений.

Таким образом, все матрицы приводятся к одной размерности $u_{max} \times d$.

2.2.5 Сохранение предобработанных данных

После предобработки, матрицы коэффициентов объединяются в массив и записываются в файл «speaker{i}_data.npy»¹ в виде numpy массива. $i = \overline{1, 6}$ здесь - номер диктора. В файл «speaker{i}_labels.npy»¹ записываются индексы команд, в виде массива, в том же порядке, что и соответствующие им матрицы коэффициентов MFCC. Соответствие произнесённых диктором команд и их индексов представлено в таблице 1.

| command | back | down | menu | off | on | open | play | power | stop | up | volume |
|---------|------|------|------|-----|----|------|------|-------|------|----|--------|
| index | 0 | 1 | 2 | 3 | 4 | 5 | 6 | 7 | 8 | 9 | 10 |

Таблица 1: Соответствие команд и их индексов

2.3 Распознавание речевых команд

Распознавание речевых команд происходит при помощи применения технологии нейронных сетей. В данной работе рассматриваются два типа нейронных сетей: многослойный персептрон и свёрточная сеть. Производится сравнение производительности этих двух типов при разных параметрах обучения.

2.3.1 Многослойный персептрон

Этот вид нейронной сети описан в третьей части книги Фрэнка Розенблатта [9], который первый предложил модель персептрона. Одним из достоинств многослойного персептрона является то, что это самая простая разновидность нейронной сети. Она состоит из входного слоя, полносвязных слоев и выходного слоя.

¹Фигурные скобки не являются частью имени файла

2.3.2 Свёрточная нейронная сеть

Данный тип нейронной сети был предложен Яном ЛеКуном [11]. Это многослойная сеть, позволяющая обеспечить устойчивость распознавания к инвариантным изменениям данных за счёт общих весов и локального рецептивного поля.

Входной слой сети состоит из одной плоскости. Его размерность совпадает с размерностью входных данных.

Последующие слои - свёрточные. Каждый свёрточный слой состоит из нескольких плоскостей нейронов, которые известны как карты признаков. Каждый нейрон в свёрточном слое соединён с небольшой областью предыдущего слоя. В этом заключается принцип локального рецептивного поля.

После каждого свёрточного слоя, который получил локальные признаки, стоит пулинг слой. Его задача состоит в понижении размерности данных.

После всех свёрточных слоёв следует выпрямляющий слой, который преобразует данные к вектору.

Далее следуют полносвязные слои. Иногда добавляется дропаут слой, который отключает некоторые нейроны на разных эпохах обучения. Это позволяет бороться с переобучением сети.

Выходной слой имеет размерность требуемых выходных данных.

2.3.3 Входные и выходные данные модели

Входной тензор модели - матрица MFCC коэффициентов для соответствующей команды. Его размерность - $u_{max} \times d$. Для составленного датасета $u_{max} = 400$, $d = 13$. Выходной тензор имеет размерность $g \times 1$, где g - количество возможных команд для распознавания. Для составленного датасета $g = 11$. Индекс распознанной команды соответствует индексу максимального элемента выходного тензора. Индексация в тензоре начинается с 0.

2.3.4 Архитектура нейронной сети

Архитектура свёрточной нейронной сети приведена на рисунке 6. Как видно из рисунка, сеть включает в себя:

- Входной слой InputLayer (размерность входных данных - 400×13)
- Слой свёртки Conv2D (32 нейрона, размерность ядра свёрки - 5×5 , функция активации - ReLu)
- Слой пулинга AveragePooling2D (размерность пула - 2×2)
- Слой свёртки Conv2D (64 нейрона, размерность ядра свёрки - 5×5 , функция активации - ReLu)
- Слой пулинга AveragePooling2D (размерность пула - 2×2)
- Выпрямляющий слой Flatten
- Полносвязный слой Dense (128 нейронов, функция активации - ReLu)
- Слой дропаута Dropout (процент исключения случайных нейронов - 30%)
- Выходной полносвязный слой Dense (11 нейронов, функция активации - Softmax)

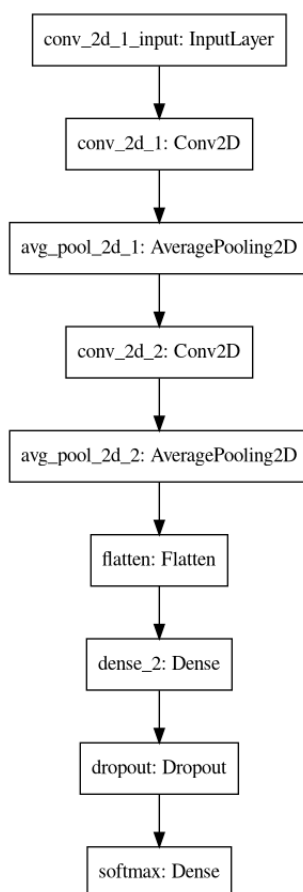


Рис. 5: Структура свёрточной нейронной сети

Архитектура свёрточной нейронной сети приведена на рисунке 6. Как видно из рисунка, сеть включает в себя:

- Входной слой InputLayer (размерность входных данных - 400×13)
- Выпрямляющий слой Flatten
- Полносвязный слой Dense (256 нейронов, функция активации - ReLu, регуляризатор ядра - L2 с параметром $\lambda = 0.00001$)
- Полносвязный слой Dense (128 нейронов, функция активации - ReLu, регуляризатор ядра - L2 с параметром $\lambda = 0.00001$)
- Полносвязный слой Dense (128 нейронов, функция активации - ReLu, регуляризатор ядра - L2 с параметром $\lambda = 0.00001$)

- Полносвязный слой Dense (64 нейрона, функция активации - ReLu, регуляризатор ядра - L2 с параметром $\lambda = 0.00001$)
- Выходной полносвязный слой Dense(11 нейронов, функция активации - Softmax)

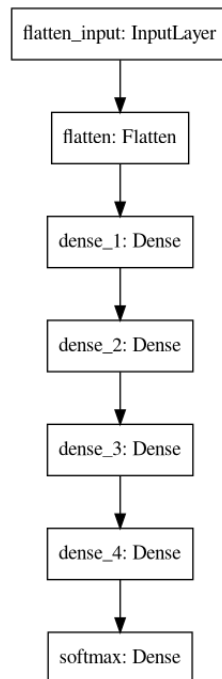


Рис. 6: Структура многослойного персептрона

2.4 Программная реализация

Построение программного интерфейса для блоков предобработки и распознавания команд было произведено при помощи языка программирования Python 3.8.

Блок предобработки был реализован при помощи библиотек `numpy`, `scipy`.

Блок распознавания был реализован при помощи библиотек `jupyterlab`, `Keras`, `numpy`. Для анализа результатов обучения нейронных сетей были использованы библиотеки `pandas`, `matplotlib`, `seaborn`.

Программный комплекс разделен на две части:

- Корневой файл «preprocessing.py», в котором реализована предобработка. Весь вспомогательный функционал вынесен в отдельный модуль «helpers».
- Корневой файл «boxu.ipynb», в котором реализовано обучение и тестирование нейронных сетей. Весь вспомогательный функционал также вынесен в отдельный модуль «helpers».

В корневой директории «recorded_audio» хранятся записанные шестью разными дикторами звуковые файлы, содержащие команды. Каждый файл содержит в своём названии индекс речевой команды, которая в нём записана.

В корневую директорию «data» в процессе предобработки файлов из директории «recorded_audio» сохраняются файлы, описание которых приводится в разделе 2.2.5:

- «speaker{i}_data.npy», $i = \overline{1, 6}$ - номер диктора
- «speaker{i}_labels.npy», $i = \overline{1, 6}$ - номер диктора.

В корневой директории «logs» в процессе предобработки данных создаётся файл «log.log», в который записывается краткий отчёт об обработке каждой звуковой файла.

Для создания датасета для обучения и тестирования нейронных сетей был разработан веб-сервис при помощи языков Javascript, HTML, CSS и фреймворка NodeJS. Этот сервис позволяет записывать речевые команды и сохранять их в нужном для программы предобработки wav формате с правильным названием. Это позволило в короткие сроки записать необходимое количество дикторов и уменьшило скорость записи в несколько раз, так как в обычных программах записи звука очень много времени уходит на сохранение с правильными параметрами. Ссылка на сервис и его код доступны в приложении.

| Диктор | Тип голоса | Кол-во звук. дорожек на каждую команду | Сумм. кол-во звук. дорожек |
|----------|------------|--|----------------------------|
| speaker1 | Мужской | 50 | 550 |
| speaker2 | Мужской | 40 | 440 |
| speaker3 | Мужской | 40 | 440 |
| speaker4 | Мужской | 40 | 440 |
| speaker5 | Мужской | 50 | 550 |
| speaker6 | Женский | 50 | 550 |

Таблица 2: Типы дикторов и данные количестве записанных команд

2.5 Описание датасета

Составленный датасет состоит команд, записанных шестью дикторами. Каждый диктор работал с 11 командами: «back», «down», «menu», «off», «on», «open», «play», «power», «stop», «up», «volume». В таблице 2 указаны типы голосов дикторов, а также сколько он записал экземпляров каждой команды.

Датасет предварительно разделяется на тренировочную и тестовую части. На тренировочную часть отводится 70% данных диктора, на тестовую часть - 30%.

Глава 3. Результаты вычислений

3.1 Описание экспериментов

Первый эксперимент: нейронная сеть обучается на первом дикторе с мужским голосом, тестирование производится на каждом дикторе.

Второй эксперимент: нейронная сеть обучается на всех дикторах с мужским голосом, тестирование производится на каждом дикторе.

Третий эксперимент: нейронная сеть обучается на всех дикторах, тестирование производится на каждом дикторе.

Было проведено 3 вычислительных эксперимента для каждого из типов.

В процессе тренировки после каждой эпохи тренировочные данные перемешиваются. 15% тренировочных данных в каждой эпохе - валидационные. В качестве метрики для оценки эффективности была выбрана метрика точности (ассигасу), а для валидации - функция потерь категориальной кросс-энтропии (val_loss). Алгоритм оптимизации - Adam. Максимальное количество эпох - 50. Если значение метрики val_loss не уменьшается в течение 20 эпох, то обучение останавливается.

Графики обучения для каждого из экспериментов приведены на рисунках 7, 8, 9.

В конце каждого эксперимента проводится тестирование нейронной сети. А в случае обучения на all_speakers помимо тестирования производится построение матрицы ошибок (confusion matrix) для каждого диктора и для каждого из четырех пороговых значений: 0.5, 0.6, 0.7, 0.8. Матрицы представлены на рисунке 10.

Результаты тестирования представлены в таблице 3. Обозначения, которые используются:

all_speakers = [speaker1, speaker2, speaker3, speaker4, speaker5, speaker6]

all_male_speakers = [speaker1, speaker2, speaker3, speaker4, speaker5]

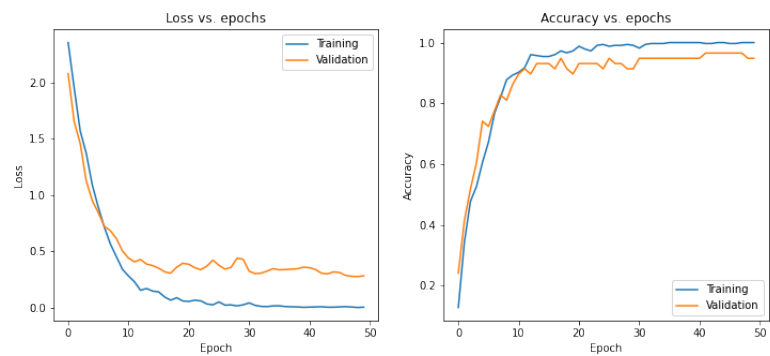


Рис. 7: Графики функции потерь и точности в течение обучения на speaker1

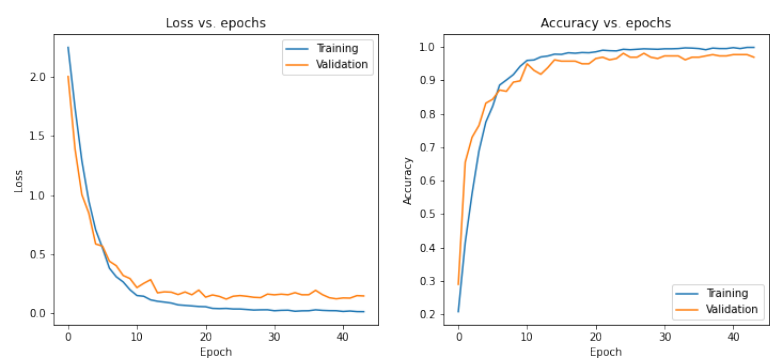


Рис. 8: Графики функции потерь и точности в течение обучения на all_male_speakers

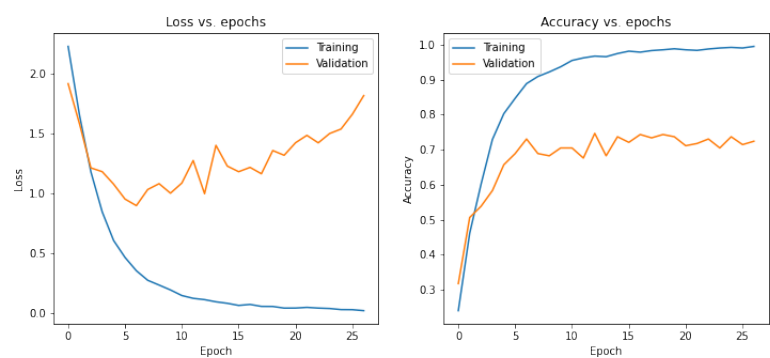


Рис. 9: Графики функции потерь и точности в течение обучения на all_speakers

| train_data | test_speaker | cnn_loss | mlp_loss | cnn_accuracy | mlp_accuracy |
|-------------------|--------------|----------|----------|--------------|--------------|
| speaker1 | speaker1 | 0.087 | 0.063 | 0.976 | 0.982 |
| speaker1 | speaker2 | 12.188 | 7.844 | 0.197 | 0.189 |
| speaker1 | speaker3 | 6.975 | 2.88 | 0.356 | 0.379 |
| speaker1 | speaker4 | 12.305 | 8.017 | 0.106 | 0.22 |
| speaker1 | speaker5 | 3.586 | 3.161 | 0.539 | 0.539 |
| speaker1 | speaker6 | 14.764 | 10.134 | 0.103 | 0.145 |
| all_male_speakers | speaker1 | 0.072 | 0.056 | 0.97 | 0.988 |
| all_male_speakers | speaker2 | 0.236 | 0.25 | 0.932 | 0.939 |
| all_male_speakers | speaker3 | 0.071 | 0.076 | 0.985 | 0.977 |
| all_male_speakers | speaker4 | 0.319 | 0.378 | 0.947 | 0.909 |
| all_male_speakers | speaker5 | 0.176 | 0.098 | 0.952 | 0.988 |
| all_male_speakers | speaker6 | 9.436 | 6.081 | 0.388 | 0.321 |
| all_speakers | speaker1 | 0.126 | 0.048 | 0.976 | 0.982 |
| all_speakers | speaker2 | 0.124 | 0.339 | 0.955 | 0.917 |
| all_speakers | speaker3 | 0.058 | 0.07 | 0.977 | 0.977 |
| all_speakers | speaker4 | 0.363 | 0.469 | 0.902 | 0.894 |
| all_speakers | speaker5 | 0.079 | 0.055 | 0.988 | 0.994 |
| all_speakers | speaker6 | 1.528 | 1.751 | 0.691 | 0.709 |

Таблица 3: Результаты вычислений

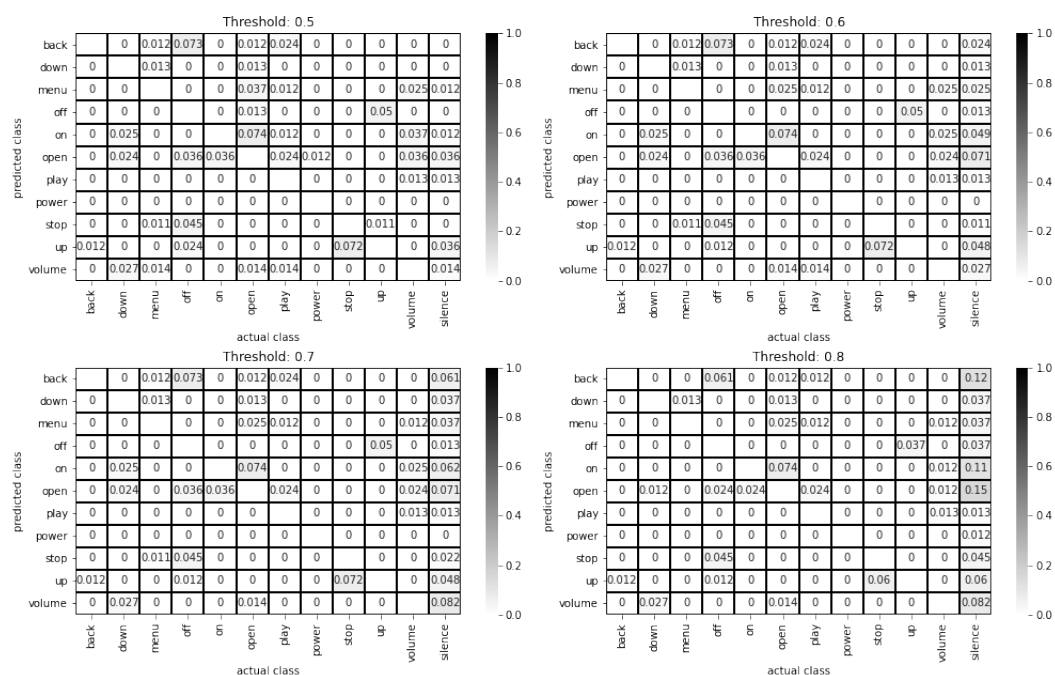


Рис. 10: Матрицы ошибок для случая обучения на all_speakers

Выводы

Видно, что при обучении только на одном дикторе, распознавание на всех остальных работает плохо.

При обучении только на мужских голосах, распознавание на женском работает лучше, чем при обучении на одном, но все-равно очень плохо.

При обучении на всех голосах, распознавание на каждом голосе даёт приемлемую точность. Однако стоит отметить, что если большая часть голосов в тренировочной части - мужские, то на женском голосе распознавание будет работать хуже, чем на мужских.

Заключение

В данной работе:

- Проведена предобработка звуковых дорожек, содержащих команды в wav файлах
- Разработан алгоритм распознавания речевых команд
- Реализован алгоритм распознавания речевых команд
- Проведены вычислительные эксперименты, в результате которых показана работоспособность и эффективность работы алгоритма распознавания речевых команд.

Список использованных источников

- [1] Davis K. N., Biddulph R., Balashek S. Automatic recognition of spoken digits // The Journal of the Acoustical Society of America, 1952. Vol. 24, No 6. P. 637-642
- [2] Newell A. Harpy, production systems and human cognition // Research Showcase @ Carnegie Mellon University, 1978
- [3] Plomp R., Pols L. C. W., van der Geer J.P. Dimensional analysis of vowel spectra // The Journal of the Acoustical Society of America, 1967, Vol. 41, P. 707-712
- [4] Bogert B. P., Healy M. J. R., Tukey J. W. The Quefrency Alanysis of Time Series for Echoes: Cepstrum, Pseudo Autocovariance, Cross-Cepstrum and Saphe Cracking // Proceedings of the Symposium on Time Series Analysis, 1963, Ch. 15, P. 209-243
- [5] Davis S., Mermelstein P. Comparison of parametric representations for monosyllabic word recognition in continuously spoken sentences // IEEE Transactions on Acoustics, Speech, and Signal Processing, 1980, Vol. ASSP-28, No. 4, P. 357-366
- [6] Rabiner L.R., Sambur, M.R. An Algorithm for Determining the Endpoints of Isolated Utterances // The Bell System Technical Journal, 1975, Vol. 54, No. 2, P. 297-315
- [7] Оппенгейм А. В., Шафер Р. В. Цифровая обработка сигналов / Под ред. С. Я. Шаца, М.: Связь, 1979. С. 367-380
- [8] Аксёнов О.Д. Метод мел-частотных кепстральных коэффициентов в задаче распознавания речи // 55-я юбилейная научная конференция аспирантов, магистрантов и студентов БГУИР, 2019, С. 45-46

- [9] Rosenblatt, F. Principles of Neurodynamics: Perceptrons and the Theory of Brain Mechanisms. Spartan Books, Washington DC, 1961
- [10] O'Shaughnessy D. Speech communication: human and machine, Addison-Wesley, 1987, P. 150
- [11] LeCun Y., Bengio Y.. Convolutional networks for images, speech, and time-series // The Handbook of Brain Theory and Neural Networks, 1995, MIT

Приложение

Ссылка на репозиторий с программой веб-сервисом для записи датасета, состоящего из звуковых файлов: <https://gitlab.com/polotent/commandrecorder>

Ссылка на сам веб-сервис, развёрнутый на платформе Heroku: <https://commandrecorder.herokuapp.com>

Ссылка на репозиторий с программой предобработки данных, обучением и тестированием нейронной сети: <https://gitlab.com/polotent/boxy>